

DISEÑO Y FABRICACIÓN DE UN PROTOTIPO A PEQUEÑA ESCALA DE UNA TURBINA DE AIRE, PARA EL APROVECHAMIENTO DE LA ENERGÍA MARINA, A BAJO COSTE MEDIANTE TÉCNICAS DE PROTOTIPADO RÁPIDO.

II CONGRÉS UPC SOSTENIBLE 2015

X. Salueña Berna (*), J.A. Ortiz Marzo (**), A. Raso Bautista

Grupo de Tecnología de Fabricación. Dept. Enginyeria Mecànica, ETSEIAT (UPC)
C/ Colom 11
08222 Terrassa (Spain)
Tel.: +34 93 739 87 13.

(*)xavier.saluenaa@upc.edu, (**) jose.antonio.ortiz@upc.edu

Tema del congreso: Sistema energético. Energías marinas.

Tópico/s transversales: Investigación a bajo coste.

RESUMEN

Existen diferentes procedimientos para aprovechar la energía de las olas [1]. El procedimiento que cuenta con mayor rendimiento y menor coste de mantenimiento es el de Columna Oscilante de Agua (OWC). El sistema consiste en la generación del movimiento de una turbina con el aire generado por el vaivén de la olas, con el problema añadido de que el flujo de aire es bidireccional. Actualmente la única turbina que puede girar en un solo sentido independientemente del sentido del flujo de aire es la turbina Wells [2]. Existen pocos estudios teóricos publicados sobre este tipo de turbina.

En este artículo se describe la metodología para desarrollar un prototipo de bajo coste (de aproximadamente 150€) de una turbina Wells, a escala, para poder contrastar los resultados obtenidos experimentalmente con los propuestos de forma teórica. Se analizarán de igual forma tanto las ecuaciones propuestas obtenidas de forma teórica como los resultados experimentales.

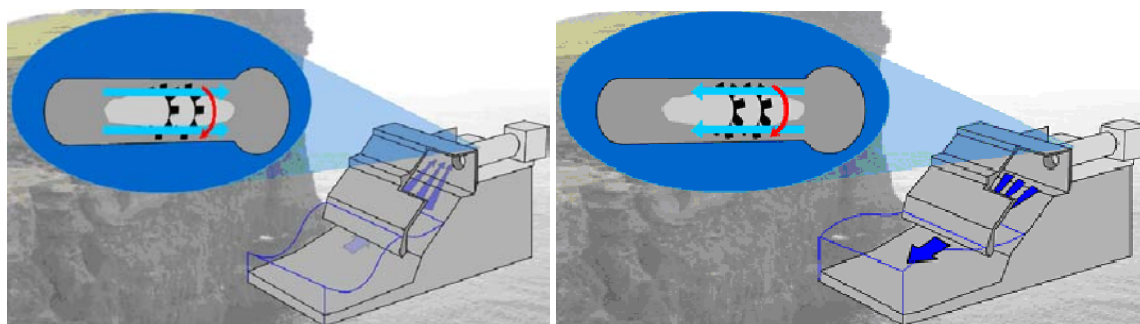


Fig 1. Funcionamiento de un sistema de columna oscilante de agua (OWC)

En el diseño de la turbina se ha partido de unos parámetros fijos: álabes de perfil simétrico NACA 0018, las dimensiones del tubo y el caudal de aire previsto y se han calculado el resto de los parámetros a partir de ecuaciones de aerodinámica [3],[4]. Posteriormente se ha realizado el diseño gráfico con un CAD y se ha fabricado el prototipo mediante sinterizado láser y mecanizado de control numérico. Finalmente se ha montado un motor de corriente continua para determinar la potencia generada en vacío.

Se ha construido el prototipo y se ha determinado la velocidad de giro y la potencia generada en función del caudal de aire circulante por el tubo.

DISE O DE UNA TURBINA WELLS A PEQUE A ESCALA

Para el aprovechamiento del flujo de aire bidireccional y de poco caudal generado por el vaiv n de las olas se necesita un dispositivo aerodin mico (turbina Wells) que gire en una sola direcci n, independientemente del sentido de dicho flujo de aire y que optimice al m ximo dicho caudal. Para estudiar el comportamiento de una turbina que cumpla con los requisitos de partida con el menor coste posible se realizar  un prototipo de peque as dimensiones y de baja potencia que permita extrapolar los resultados. Para realizar un peque o prototipo y que sea posible extrapolar los resultados obtenidos a turbinas de mayor tama o debe trabajarse con n meros adimensionales.

Conceptos te ricos, rendimiento de la turbina

En primer lugar deben definirse el perfil de los  labes, la h lice, la geometr a y todos los par metros necesarios para asegurar su funcionalidad. El punto de partida es el caudal de aire necesario en la columna de aire para obtener la velocidad de giro en la turbina para obtener el m ximo rendimiento del motor que es de 2500 rpm.

Si P_1 y P_2 son las presiones de los puntos situados antes y despu s de la turbina, U_1 y U_2 las velocidades del aire correspondientes, ρ la densidad del aire y ΔP la ca da de presi n, el Teorema de Bernoulli establece la siguiente relaci n:

$$P_1 + \frac{1}{2} \rho \cdot U_1^2 = P_2 + \frac{1}{2} \rho \cdot U_2^2 + \Delta P \quad (1)$$

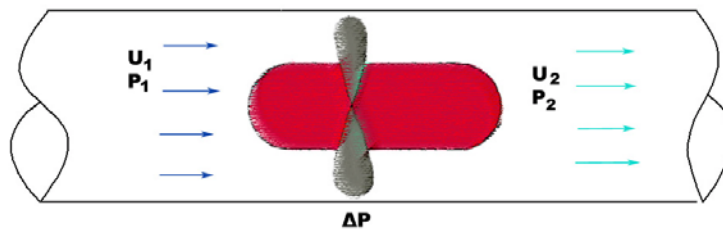


Fig 2. Ca da de presi n en una turbina Wells

Siendo Q el caudal del flujo de aire generado, la potencia total (W_{total}) de la turbina Wells es:

$$W_{total} = Q \cdot \Delta P \quad (2)$$

Por otro lado, siendo Ω la velocidad de rotaci n angular y T el momento (par), la potencia  til de la turbina es:

$$W_{util} = \Omega \cdot T \quad (3)$$

De ambas expresiones, siendo $W_{util} = W_{total} \cdot \eta$, se obtiene el rendimiento de la turbina.

$$\eta = \frac{\Omega \cdot T}{Q \cdot \Delta P} \quad (4)$$

Conceptos te ricos, estudio aerodin mico

El estudio aerodin mico del  labe se utiliza para el c lculo del momento y de la variaci n de presi n en funci n de la velocidad del aire incidente [5]. La generaci n de un momento en el rotor de la turbina, implica un cambio en la direcci n de la corriente de aire. Este cambio ocurre a trav s del espesor del disco, provocando una componente de energ a cin tica rotacional. Dicha componente rotacional o velocidad inducida (U_i) tiene un efecto directo en la acci n aerodin mica de la turbina.

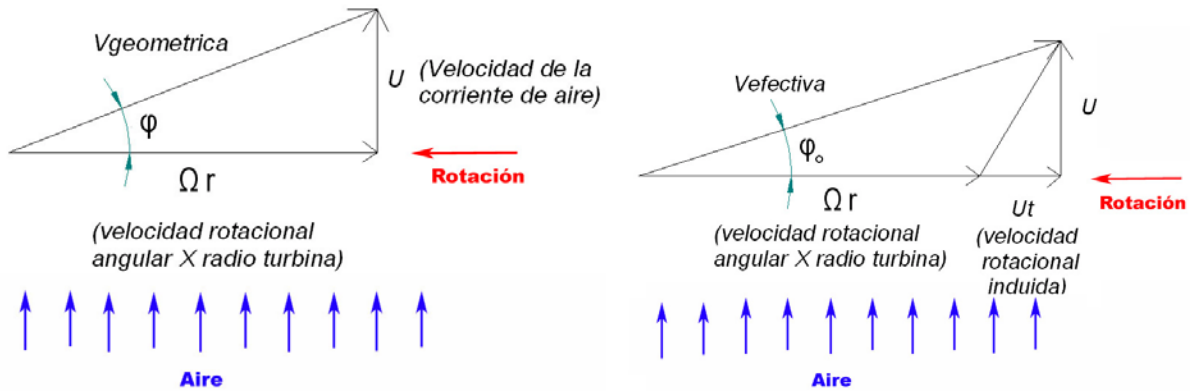


Fig 3. Diagrama de velocidades ideal y real en la turbina Wells

El  ngulo de ataque α , formado entre la cuerda geom trica del ala y la direcci n de la velocidad de la corriente de aire, es el mismo que el formado por la bisectriz del  ngulo de la velocidad efectiva V_{EFEC} y la velocidad geom trica V_{GEOM} .

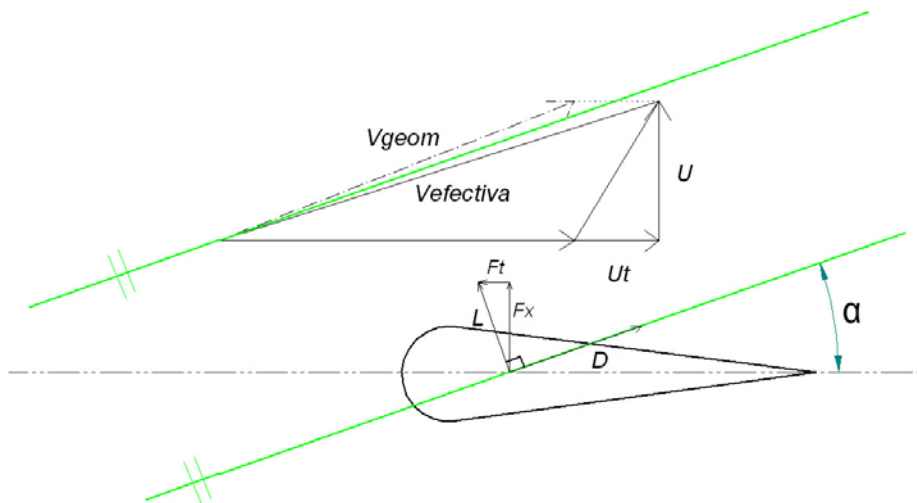


Fig 4. Relaci n de  ngulos entre el diagrama de velocidades y el diagrama de fuerzas sobre el perfil de un  labe.

Si se conoce la velocidad angular de giro del rotor, se determina sobre cualquier aspa de la turbina, la velocidad relativa que experimenta el perfil aerodin mico. Esta velocidad produce las fuerzas sobre el perfil. Mediante esta relaci n de tri ngulos de fuerzas y velocidades (Figura 5), se pueden relacionar todos los par metros.

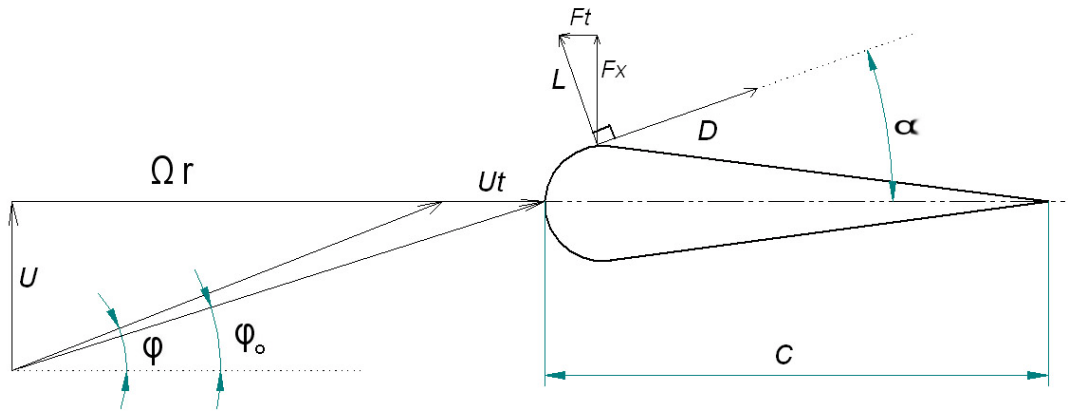


Fig 5. Diagrama de fuerzas y velocidades sobre el perfil de un  labe.

Se determina el momento en el rotor para una distancia r desde el centro de giro en funci n de las fuerzas de arrastre (Drag) D y de la fuerza de sustentaci n (Lift) L , proyectadas en la direcci n de movimiento del  labe.

$$T = (L \sin \alpha - D \cos \alpha) \cdot r \quad (5)$$

Cuando se utilizan perfiles sim tricos como en el caso de la turbina Wells (NACA 00XX), el sentido de la fuerza en la direcci n del movimiento F_T es el mismo para valores positivos y negativos del  ngulo de ataque, lo cual provoca que se produzca un giro en una  nica direcci n. La componente vertical F_x cambiar  de sentido en funci n del flujo del aire que circule. La relaci n entre las componentes en la direcci n del movimiento y su normal en funci n de las fuerzas aerodin micas vienen dadas por la expresi n:

$$\begin{aligned} F_T &= L \sin \alpha - D \cos \alpha \\ F_x &= L \cos \alpha + D \sin \alpha \end{aligned} \quad (6)$$

Las fuerzas aerodin micas en funci n de los coeficientes de arrastre y sustentaci n (C_D y C_L), la longitud de cuerda del perfil (c), la densidad (ρ) y de la velocidad efectiva del aire (V_{EFEC}) son:

$$\begin{aligned} L &= \frac{1}{2} \rho \cdot V_{EFEC}^2 \cdot c \cdot C_L \\ D &= \frac{1}{2} \rho \cdot V_{EFEC}^2 \cdot c \cdot C_D \end{aligned} \quad (7)$$

Los coeficientes C_D y C_L dependen del perfil del  labe y del n mero de Reynolds, de forma que el flujo sea laminar de baja resistencia aerodin mica [3]. Se debe escoger un perfil NACA, con un  ngulo de ataque comprendido entre 7° y 13° , para que la corriente de aire forme una Fuerza F_T suficiente para generar el movimiento rotacional de la turbina. Se ha elegido un perfil sim trico NACA 0018.

A continuaci n se determina la velocidad rotacional inducida debida a la fuerza F_T en funci n de la diferencia de presi n antes y despu s del  labe. Se parte del principio de conservaci n de la energ a por unidad de volumen se expresa como:

$$P_1 - P_2 - \frac{1}{2} \rho \cdot U t^2 = \rho \cdot r \cdot \Omega \cdot U_t \quad (8)$$

Considerando s lo la componente que ejerce la sustentaci n sobre la fuerza horizontal F_T .

$$(P_1 - P_2) = \rho \cdot U \cdot U_t \cot \varphi_o \quad (9)$$

Puede determinarse el  ngulo de la velocidad efectiva (φ_o) respecto al plano de rotaci n de la turbina (figura 3).

$$\cot \varphi_o = \frac{\Omega r + U_t}{U} \quad (10)$$

El dise o  ptimo de la turbina se logra considerando que ΔP_o sea constante a lo largo del disco de la turbina.

$$U_T = \frac{P_1 - P_2}{2 \rho \cdot \Omega \cdot r} \quad (11)$$

Considerando la velocidad rotacional inducida de la ecuaci n 11 y la fuerza horizontal, puede obtenerse el factor de dise o que determina la primera dimensi n particular de la turbina, la longitud de cuerda c en funci n de unos n meros adimensionales:

$$\frac{B \cdot c \cdot C_L}{4 \pi \cdot r} = \Delta P_o^* \times \frac{1}{\sqrt{1 + (U^*)^2}} \times \frac{1}{\left(1 + \frac{\Delta P_o^*}{2} \cdot \left(\frac{2 + (U^*)^2}{1 + (U^*)^2}\right)\right)} \quad (12)$$

Conceptos te ricos, an lisis adimensional

Para determinar las dimensiones preliminares del prototipo a peque a escala de la turbina Wells se recurre a un an lisis adimensional [2]. De esta forma a partir del prototipo se pueden extrapolar los datos a una turbina de dimensiones reales. Se pueden determinar varios grupos adimensionales que caracterizan el funcionamiento de la turbina. Estos grupos son funci n de la densidad del fluido (ρ), viscosidad cinem tica del fluido (ν), la velocidad axial del aire (U), el radio de la turbina (R), la ca da de presi n (ΔP_o), la velocidad angular (Ω) y el Momento (T). Los n meros obtenidos son conocidos como coeficiente de flujo (U^*), coeficiente de presi n (ΔP_o^*), coeficiente de par (T^*) y el n mero de Reynolds (Re). Estos n meros se convierten en los par metros iniciales para el dise o de la turbina.

$$\begin{aligned} U^* &= U / \Omega R \\ \Delta P_o^* &= \Delta P_o / \rho \cdot \Omega^2 \cdot R^2 \\ T^* &= T / \rho \cdot \Omega^2 \cdot R^5 \\ Re &= \frac{\left(\sqrt{(\Omega R)^2 + U^2}\right) \cdot c}{\nu} \end{aligned} \quad (13)$$

El t rmino solidez describe la geometr a de la turbina a trav s de la relaci n entre el  rea ocupada por las aspas (B es el n mero de aspas) y el  rea total descrita por el disco (h es la relaci n entre di metros del cubo y del disco). Para el caso de la turbina Wells este valor puede calcularse a trav s de la siguiente ecuaci n y se recomienda que su valor sea como m nimo de 0,6 para que pueda arrancar desde el reposo:

$$\sigma = \frac{B \cdot c}{\pi \cdot R \cdot (1 + h)} \quad (14)$$

Dimensionado real del prototipo de la turbina

El punto de partida del c lculo de la turbina Wells ser :

- Di metro del tubo por donde circula el aire: 100mm.
- Perfil del  labe: NACA 0018.
-  ngulo de ataque entre 7 y 13 
- Juego entre el radio de la turbina y el tubo (GAP): 1 mm.
- Solidez de la turbina: 0,65.
- N mero de aspas: 6.
- Velocidad angular Ω : 2500 rpm
- Hip tesis de trabajo
 - Fluido incompresible $\rho = \text{cte.}$
 - R gimen permanente (Caudal de entrada igual a caudal de salida)
 - Volumen de control fijo, no deformable e inercial (el volumen de control no variar  con el tiempo ni se mover  respecto el sistema de referencia)

A partir de los datos anteriores y optimizando la potencia y los rendimientos se obtiene las dimensiones indicadas en la Figura 6.

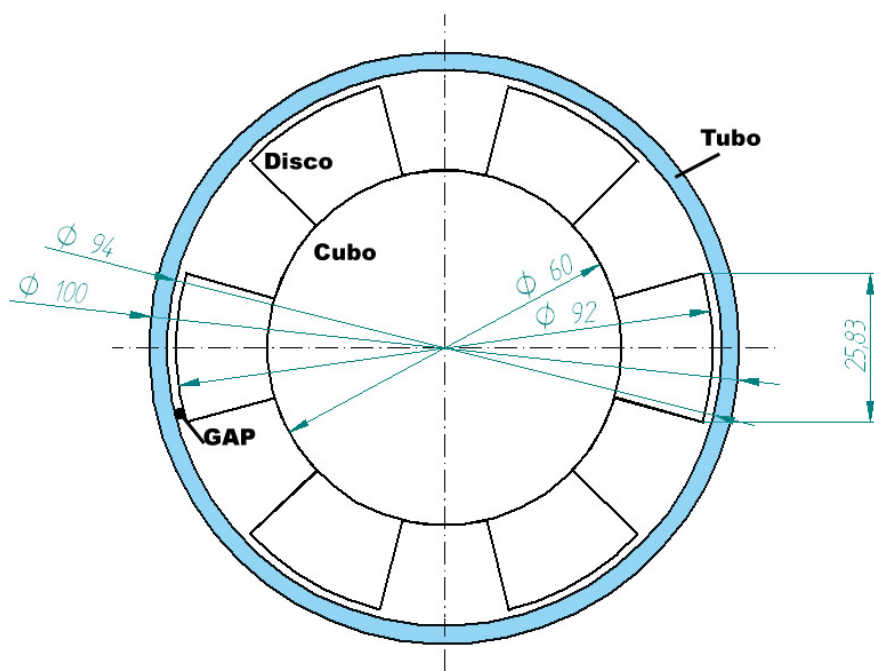


Fig 6. Plano esquem tico del prototipo de la turbina Wells (unidades mm)

A partir de las ecuaciones 6, 7, 11 y 13 y las tablas NACA 0018 [3] se obtienen los valores de los coeficientes de arrastre y sustentaci n $C_L = 0,8$ y $C_D = 0,02$. A partir de la ecuaci n 11 y 12 se obtiene las variables del prototipo optimizando el rendimiento aerodin mico.

c (m)	0,02583
C_L	0,8
C_D	0,02
B (n�m alabes)	6
r_{max}	0,048
r_{min}	0,03
σ solidez	0,65
V_{EFEC} (m/s)	18,6194253
V_{GEO} (m/s)	13,0997584
Φ_0 (deg)	13,0997584
φ (deg)	11,7936426
α (deg)	14,1000017
U (m/s)	3,7
U_t (m/s)	5,66
Ω (rad/s)	261,799388
ΔP (Pa)	170,701578
W_{total} (w)	2,47214891
W_{util} (w)	1,4422

Tabla 1. Variables obtenidas para el prototipo de una turbina Wells.

El caudal m nimo de aire necesario para mover la turbina se puede calcular a partir de su velocidad de entrada o de la ecuaci n 2.

$$Q = S \cdot U = S' \cdot U' \quad (15)$$

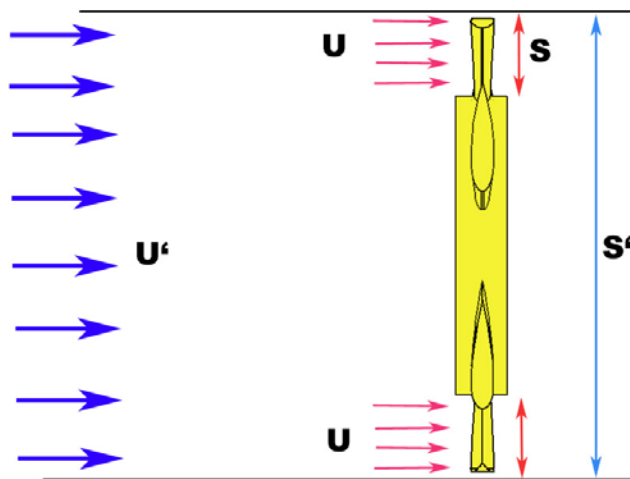


Fig 7. Velocidad del fluido en funci n de la secci n de paso en la turbina.

Se obtiene un caudal de aire necesario y una velocidad de entrada de:

$$U' = 2,25 \text{ m/s}$$

$$Q = 0,0154 \text{ m}^3/\text{s}$$

Diseño y fabricación del prototipo.

Con el fin de evaluar los resultados obtenidos se ha diseñado y fabricado un prototipo de pequeñas dimensiones.

El diseño 3D se ha efectuado en un programa de dibujo (CATIA). La turbina está formada por dos piezas independientes. La parte del rotor la cual contiene una zona central que dirige el aire hacia la zona de los álabes y los seis álabes. La parte del estátor (que se fija a la tubería por la que circula el aire) tiene un alojamiento interior donde se fija un motor de corriente continua a modo de dinamo. Para el diseño de ambas piezas se ha tenido en cuenta la optimización de la posición del centro de masas.



Fig 8. Diseño del prototipo de turbina Wells. Rótor, estátor y ubicación del motor en el estátor.

A partir del dibujo en 3D de las piezas se ha fabricado un prototipo por sinterización láser a partir de polvo de una poliamida PA 2200 por sus propiedades mecánicas y térmicas adecuadas (En un Centro Tecnológico). El coste de los prototipos ha sido de aproximadamente 100 €. El tubo y el motor son materiales de venta en comercios y el soporte de fijación del estátor con el tubo se ha realizado en CAD-CAM en el centro de mecanizado del taller de la ETSEIAT.

Fig 9. Ensayo del prototipo de turbina Wells.

Experimentación del prototipo.

Para la experimentación del prototipo se ha utilizado un compresor de aire y un difusor para simular el flujo de aire generado por las olas marinas en un sistema OWC. Para controlar el caudal y la velocidad del aire en diferentes puntos de la tubería se ha utilizado un anemómetro modelo

TESTO 445 con sonda de velocidad de aire, con una resoluci n de 0,01 m/s y un rango de medici n comprendido entre 0-60 m/s. Para la medici n del caudal se ha realizado una medici n a 25 cm de los  labes de la turbina, haciendo la media entre 5+5 puntos de una cruz virtual.

As  mismo se ha medido el voltaje e intensidad generada mediante un mult metro.

Se han comprobado los valores reales obtenidos con los te ricos a la velocidad de rotaci n de 1200 rpm (recalculados a partir de los n meros adimensionales).

Caudal de aire a la entrada del tubo	35 m ³ /h (0.009722 m ³ /s)
Velocidad del flujo de aire a la entrada del tubo	1,2 m/s
Velocidad de aire incidente en los �labes	3,6 m/s

Tensi�n generada	0,584 V
Intensidad	0,29 A

Tabla 2. Valores reales obtenidos para el prototipo de una turbina Wells.

Se ha comprobado el buen funcionamiento de la turbina y calculado el coeficiente de correcci n del rendimiento experimental respecto al te rico. Respecto al valor de la energ a generada debe tenerse en cuenta de que aumenta en funci n del cuadrado del di metro de la turbina por lo que ser  mucho mayor a dimensiones reales (aproximadamente 30 kW).

CONCLUSIONES

Se ha mostrado uno de los proyectos de estudio de energ as renovables llevado a cabo en el Grupo de Tecnolog a de Fabricaci n de la ETSEIAT, el del prototipaje de una turbina Wells utilizada en la generaci n de electricidad a partir de la energ a de las olas marinas.

Se ha demostrado que es posible modelizar una turbina de grandes dimensiones mediante las f rmulas adecuadas y n meros adimensionales y construir un prototipo de bajo coste utilizando las t cnicas de prototipado r pido.

Referencias:

- [1] Mujal R, Casals J, Boix O, Salue a X, Colom X et al , Fuentes de Energ a el ctrica, Edicions UPC (2005).
- [2] Curran, R., Gato, L.M.C., The Energy conversion of several types of Wells turbine designs. Proc. Instn. Mech. Engrs, Part A, (1997).
- [3] Abbott I, Von Doenhoff A, Theory of wing sections, Dover Publications, Inc, USA (1959).
- [4] Raghunathan, S., Beattie, W.C. Aerodynamic performance of contrarotating Wells turbine for wave energy generation. Journal of Offshore Mechanics and Arctic Engineering, Vol 4, (1996).
- [5] W.K.Tease, Dynamic Response of a Variable Pitch Wells Turbina, Turbine Department Wavegen, 13a Harbour Road, Inverness, IV1 1SY, Scotland (2007).